

# Sniženje ekstremnih naprezanja u listu tračnih pila regulacijom kuta ukrštenosti kotača

## REDUCTION OF EXTREME STRESSES ON BAND-SAW BLADES THROUGH REGULATION OF THE CROSS-ALIGNMENT ANGLE OF THE PULLEYS

Mario Štambuk, dipl. ing.  
Zagreb

Prispjelo: 16. studenog 1987.  
Prihvaćeno: 5. travnja 1988.

UDK 630\*822.34

Prethodno priopćenje

### Sažetak

Ekstremna naprezanja koja djeluju u pazuhu zuba lista tračne pile, povremeno mogu prelaziti granicu izdržljivosti materijala pilne trake, te uzrokovati pukotine zamora. Zbog toga se povećavaju troškovi održavanja lista pile i njihov utrošak u pilanskim pogonima. Pogodnim podešavanjem kuta ukrštenosti osi kotača pile moguće je u nekim slučajevima znatno smanjiti ekstremna naprezanja.

**Ključne riječi:** tračna pila — list tračne pile — ukrštenost kotača — smanjivanje ekstremnih naprezanja u listu tračne pile.

### Summary

Extreme stresses upon the gullets of band-saw blade teeth can at times exceed the dynamic strength of the saw blade material and cause fatigue cracks. This results in increased maintenance and purchasing cost for tools in saw mills. The proper adjustment of the cross-alignment angle of a band-saw can in certain situations significantly reduce the level of extreme stresses.

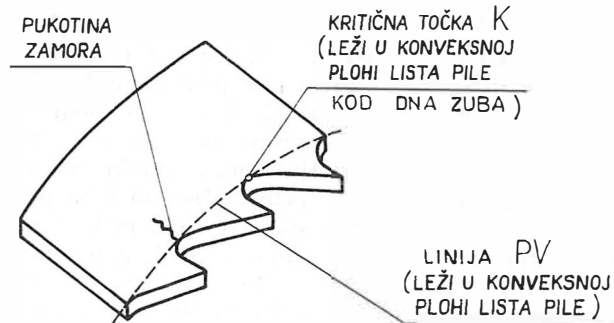
**Key words:** band-saw — band-saw blade — cross-aligning of band-saw pulleys — reduction of extreme stresses in band-saw blades.

### 1. UVOD

List pile je jedan od najopterećenijih dijelova tračne pile. U radu je pilna traka na pojedinim mjestima napregnuta do blizu granice dinamičke izdržljivosti materijala. Na tim kritičnim mjestima povremeno može dolaziti i do njezina prekoračenja. Zbog toga nastaju pukotine uslijed zamora materijala (slika 1), koje se obično javljaju kod dna pazuha zuba na mjestima gdje, zbog koncentracije silnica naprezanja, nastaju ekstremna, najveća naprezanja. Ove pukotine dovode do smanjenja vijek trajanja lista, a time i do osjetnog porasta troška nabavke i održavanja alata.

Da bi se produžio vijek trajanja lista i smanjili troškovi eksploracije tračnih pila, korisno je sniziti ekstremna naprezanja u listu, tako da se pri tome ne mijenja sila zatezanja lista na kotačima. Radi toga se u praksi posvećuje posebna pažnja pravilnom izbrušavanju dna zuba, a ponekad se primjenjuju posebni postupci obrade lista u području pazuha zuba.

U radu se predlaže postupak za sniženje maksimalnih naprezanja u pazuhu zuba. Pogodnom analizom pokazat će se da ova ekstremna naprezanja ovise i o kutu ukrštenosti osi kotača  $\lambda$ , slika 2. Iz toga proizlazi da se podešavanjem kuta ukrštenosti  $\lambda$  mogu smanjiti ekstremna naprezanja u pazuhu zuba. Pri otklanjanju veće ukrštenosti, ovo smanjenje može biti znatno.

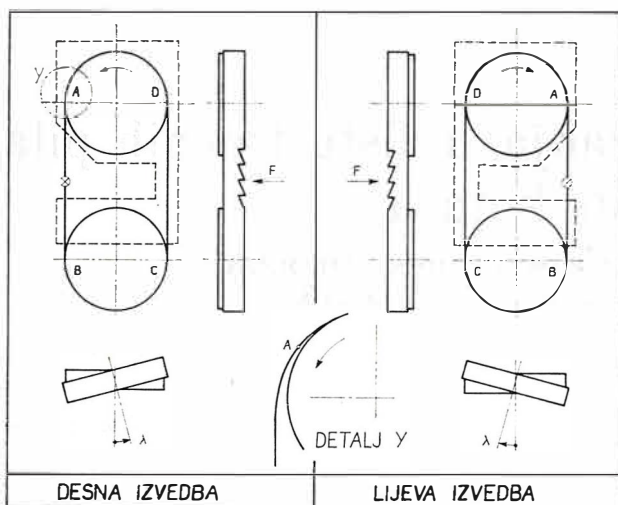


Slika 1 — List tračne pile savijen preko kotača (detalj)  
Figure 1 — Band-saw blade bent across a pulley (detail)

### 2. KOMPONENTE NAPREZANJA U KRITIČNOJ TOČKI K

U literaturnim izvorima [1] do [9] detaljno su razmatrane komponente naprezanja koje opterećuju list pile; opisani su njihovi uzroci, veličine i druge karakteristike, što se ovdje neće ponavljati. Zato će u predstojećoj analizi biti tretiran samo onaj dio problematike naprezanja lista pile koji je potreban da se odredi mjesto i iznos ekstremnog naprezanja.

Ako se zamisli linija PV u konveksnoj plohi lista pile kao na slici 1, onda se, kako je poznato [4], ekstremno naprezanje pojavljuje u kritičnim



Slika 2 — Skice stalaka vertikalnih tračnih pila trupčara desnih i lijevih izvedbi.

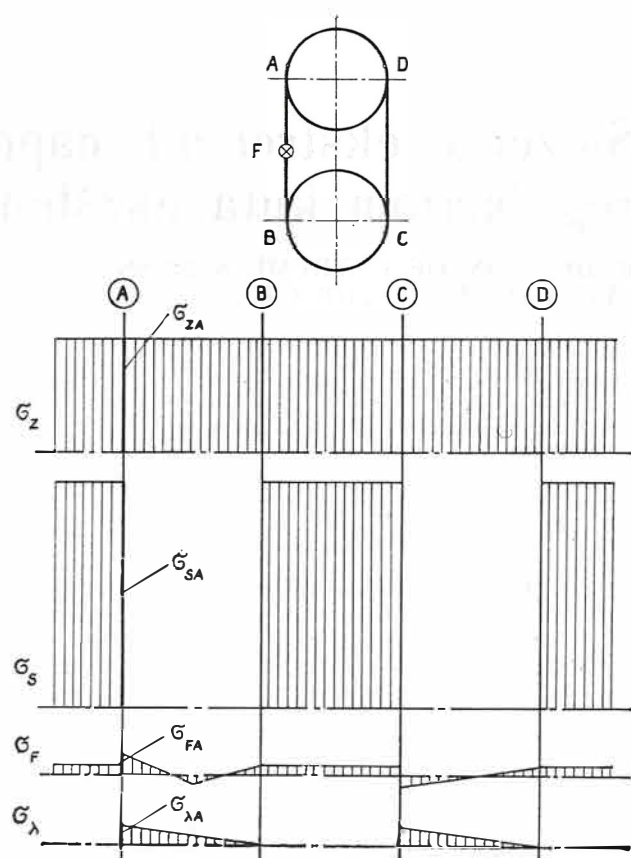
Figure 2 — Sketch of vertical log bandmill stands, right and left versions (according to DIN 8815)

A, B, C, D — oznake karakterističnih pozicija na stroju;  $F$  — posmična sila (komponenta rezultirajuće sile rezanja kojom obradak djeluje na list pile u smjeru posmaka);  $\lambda$  — pozitivni smjer kuta ukrštenosti osi kotača; detalj y — karikirani prikaz karakterističnog mjesto A, koje je definirano kao prva točka slobodne radne grane lista pile, pošto se list odvoji od gornjeg kotača; desne i lijeve izvedbe tračnih pila definirane su prema DIN 8815.

točkama K, koje se nalaze u blizini mesta gdje linija PV tangira dno pazuha zuba. Prema tome, kod teorijske analize ekstremnih naprezanja u listu pile, dovoljno je pratiti one komponente naprezanja koje se pojavljuju u jednoj od točaka K, tijekom ophoda promatrane točke oko oba kotača.

Radi analize je na slici 3. usporedno izložena skupina dijagrama. Za svaku prikazanu komponentu naprezanja u točki K, dan je posebni dijagram. Zajedno ovi dijagrami pružaju sliku naprezanja, kakva se pojavljuje pri normalnom radu podešenog stroja i dobro pripremljenom listu pile, te kada nema ekscesnih sila. Grafički prikazi nekih komponenata su pojednostavljeni, a pojedine sastavnice naprezanja, koje nisu značajne za ovu analizu, izostavljene su. Tako na slici 3. nisu prikazane komponente naprezanja uslijed: bombea kotača, valjanja lista pile, naklona kotača, radijusa leđnog brida lista pile, centrifugalne sile, neravnomjernog zagrijavanja lista pile, sile rezanja, lateralnog pomicanja lista po vijencu kotača, savijanja zubi i dr.

Budući da se rad bavi također proučavanjem ukrštenosti osi kotača, posebno se objašnjava ovaj fenomen. Naime, nakon uklanjanja ukrštenosti, što se prema uputama proizvođača pilanskih tračnih pila obavlja uz pomoć viska, ostaje greška izravnjanja u obliku malog zaostalog kuta  $\lambda$ , slika 2. Dopušteni iznos ove pogreške prema preporuci [3] jest 1 mm/1000 mm (1%). Najveće naprezanje uslijed kuta ukrštenosti kotača pojavljuje se na točkama A i C, slika 3. Pri tome je u dijagramu uzeto u obzir i naprezanje zbog korekcije naklona kotača, koje radnik uobičajuje



Slika 3 — Usporedni pogled komponenata naprezanja u kritičnoj točki K lista tračne pile na raznim mjestima stroja (Pojedno stavljeni prikaz za desnu izvedbu stroja)

Figure 3 — Comparative survey of individual stress components at critical point K of a band-saw blade in various positions

A, B, C, D, — oznake karakterističnih pozicija na stroju;  $F$  — posmična sila;  $\sigma_z$  — naprezanje uslijed zategnutosti lista pile na kotačima;  $\sigma_s$  — naprezanje uslijed savijanja lista pile oko kotača;  $\delta_F$  — naprezanje savijanja uslijed posmične sile  $F$ ;  $\sigma_\lambda$  — naprezanje savijanja uslijed ukrštenosti osi kotača; dodatni indeks A uz oznaku  $\sigma$  označava naprezanje na mjestu A.

no obavlja da bi kut  $\lambda$  prilagodio iznosu istake zuba izvan vijenca kotača. Proračun naprezanja uslijed ukrštenosti osi kotača obavlja se na osnovi poznatih jednadžbi, v. lit. [8]. Ove ovisnosti pokazuju da je naprezanje uslijed ukrštenosti osi kotača proporcionalno s kutom  $\lambda$ , koji može biti i negativan, slika 2.

Naprezanje uslijed posmične sile  $F$  ima promjenljiv tok na raznim točkama stroja, slika 3, i ono se izračunava na osnovi poznatih izraza prema lit. [2]. Značajno je da se ekstremno naprezanje pojavljuje u točki A, te da je ono na tom mjestu višestruko veće nego naprezanje uzrokovano silom  $F$  na ostalim mjestima.

Za potrebe analize naprezanja treba preciznije odrediti mjesto točke A, na kojoj se pojavljuje ekstremno naprezanje. Točka A je određena kao prva točka slobodne radne grane lista pile pošto se list odvojio od oboda gornjeg kotača. Simetrično su zamišljene i točke B, C i D, slika 2. Iako je u točki A list pile već odvojen od vijenca

kotača, on zadržava zaknivljenost koja približno odgovara radiusu kotača, pa time zadržava i odgovarajuće naprezanje savijanja  $\sigma_s$  u liniji PV.

### 3. NAPREZANJE NA DNU ZUBA, KADA SE KRITIČNA TOČKA K NALAZI NA MJESTU A STROJA

Iz usporednih dijagrama na slici 3. lako je uočljivo da suma komponenata naprezanja  $\sigma_z + \sigma_s + \sigma_F + \sigma_\lambda$ , koja djeluje u točki K, postiže najveću vrijednost kad se nalazi na mjestu A, blizu točke gdje se list odvaja od gornjeg kotača. Promatrajući dijagrame na slici 3, i uzimajući u obzir fenomen koncentracije naprezanja, može se definirati ekstremno naprezanje:

$$\sigma_e = \beta_{LP} (\sigma_{ZA} + \sigma_{SA} + \sigma_{FA} + \sigma_{\lambda A}) \quad (1)$$

$$\sigma_e = \beta_{LP} (\sigma_{ZA} + \sigma_{SA} + \sigma_{FA}) + \beta_{LP} \cdot \sigma_{\lambda A} \quad (2)$$

$$\sigma_e = \beta_{LP} (\sigma_{ZA} + \sigma_{SA} + \sigma_{FA}) + \beta_{LP} \cdot \lambda \cdot k \quad (3)$$

U navedenim jednadžbama  $\beta_{LP}$  označuje faktor koncentracije naprezanja u točki K, koji u ovome slučaju obuhvaća utjecaj suženja presjeka pilne trake uslijed ozubljenja, i utjecaj sitnih zarezova nastalih djelovanjem brusa tijekom oštrenja. Sa  $k$  je označen odnos  $\sigma_{\lambda A} / \lambda$ , dok indeksi A označavaju komponente naprezanja u točki K, kad se ona nalazi na mjestu A.

Izraz (3) pokazuje da je ekstremno naprezanje  $\sigma_e$  funkcija kuta ukrštenosti osi kotača  $\lambda$ . Ovo bi trebalo i eksperimentalno provjeriti.

Jednadžba (3) upućuje na mogućnost praktične primjene analize. Naime, pogodnim podešavanjem kuta  $\lambda$ , na stroju se mogu izbjegći dodatna naprezanja uslijed ukrštenosti osi kotača, ako se kut  $\lambda$  svede na zanemarljivo malu veličinu. U tom cilju razvijen je točniji postupak izravnavanja kuta ukrštenosti osi kotača, o kome se govori u poglavljju 5.

### 4. ORIJENTACIJSKO BROJČANO RAZMATRANJE PROBLEMA

U tablici I. navedeni su orientacijski primjeri numeričkih vrijednosti prikazanih komponenata naprezanja u kritičkoj točki K lista pila na mjestu A stroja. Navedeni brojčani iznosi određeni su na temelju izmjera i morfoloških parametara uobičajenih za proizvode evropskih proizvodča tračnih pila trupčara. Djelovanje pojave koncentracije naprezanja u pazuzu zuba uključeno je u prikazane brojčane vrijednosti svake od komponenata. Faktor koncentracije naprezanja, koji se kreće u granicama 1,3 do 2,5, usvojen je za dalju analizu u iznosu od  $\beta_{LP} = 1,6$  [4].

Naprezanje  $\sigma_{FA}$  uslijed pomicne sile  $F$  izračunano je za slučaj oštrih zubi i stroj pogonjen nominalnom snagom motora. Naprezanje  $\sigma_{\lambda A}$  uslijed ukrštenosti osi kotača izračunano je prema poznatim izrazima [8] za slučaj dopuštenog kuta ukrštenosti  $\lambda = 1 \text{ mm}/1000 \text{ mm}$  kakav je iskan preporukom [3].

Eksperimentalno su za listove tračnih pila utvrđene granice dinamičke izdržljivosti za uobičajene čelike iz kojih se izrađuju pilne trake [4]. Prema tim podacima može se prihvati  $\sigma_d = 740 \text{ N/mm}^2$ , kao orijentacijska numerička vrijednost dinamičke izdržljivosti materijala pilne trake pri asimetričnom ciklusu opterećenja, kakvom je izložen list pile, i kakav je iskazan podacima u tablici I.

Tablica I.

ORIJENTACIJSKE NUMERIČKE VELICINE KOMPONENTA NAPREZANJA U LISTU TRAČNE PILE TRUPČARE (U TOČKI K LISTA NA MJESTU A STROJA)

Uzrok naprezanja u listu pile	Naprezanje* N/mm <sup>2</sup>
Zategnutost lista pile na kotaču	200
Savijanje lista pile oko kotača	380
Savijanje uslijed posmične sile	30
Savijanje uslijed ukrštenosti osi kotača	30
Ukupno — ekstremno naprezanje	640

\* Uključeno je i naprezanje uslijed koncentracije naprezanja uz pretpostavljeni faktor koncentracije naprezanja  $\beta_{LP} = 1,6$ .

Kao sigurnost protiv loma definirana je za ovo razmatranje razlika  $\Delta\sigma = \sigma_d - \sigma_e$ .

Na slici 4, dane su za točku K na mjestu A stroja ovisnosti:

- iznos dinamičke izdržljivosti  $\sigma_d = 740 \text{ N/mm}^2$  čelika za pilne trake,
- iznos procijenjenog ekstremnog naprezanja  $\sigma_e = 640 \text{ N/mm}^2$ ,
- i iznosa dodatnog naprezanja uslijed ukrštenosti osi kotača  $\beta_{LP} \cdot \sigma_{\lambda A} = 30 \text{ N/mm}^2$ .

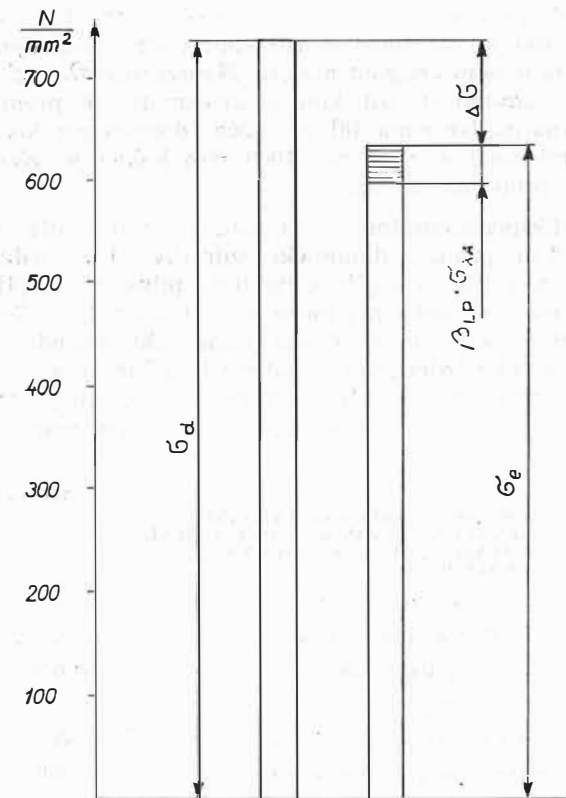
Iz slike 4. je vidljivo:

a) da postoji relativno mala sigurnost protiv loma

$$\Delta\sigma = \sigma_d - \sigma_e = 740 - 640 = 100 \text{ N/mm}^2;$$

b) da se sigurnost protiv loma  $\Delta\sigma$  smanjuje s povećanjem dodatnog naprezanja uslijed ukrštenosti osi kotača

$$\beta_{LP} \cdot \sigma_{\lambda A}.$$



Slika 4 — Naprezanje i izdržljivost materijala lista tračne pile trupčare u kritičnoj točki K na mjestu A (grafički prikaz orijentacijskih numeričkih veličina)

Figure 4 — Stress and dynamic strength of log band-saw blade material at critical point K in position A (graphic representation of orientational numerical values).

$\sigma_e$  — ekstremno naprezanje kada nisu prisutne ekscesne — ne-karakteristične — sile;  $\beta_{LP} \sigma_A$  — dodatno naprezanje uslijed ukrštenosti osi kotača, uvećano uslijed faktora koncentracije naprezanja  $\beta_{LP}$ ;  $\sigma_d$  — granica dinamičke izdržljivosti materijala lista tračne pile trupčare;  $\Delta\sigma$  — sigurnosna razlika:  $\Delta\sigma = \sigma_d - \sigma_e$

Cinjenice pod a) i b) upućuju na potrebu točnijeg podešavanja kuta ukrštenosti  $\lambda$  nego to propisuje preporuka [3]. Naime, smanjivanjem kuta ukrštenosti  $\lambda$  osi kotača, smanjuje se i dodatno naprezanje  $\beta_{LP} \cdot \sigma_A$ , a time se neposredno povećava sigurnost protiv loma  $\Delta\sigma$ .

## 5. PREPORUKE ZA PRAKSU

Relativno velika tolerancija kuta ukrštenosti (1 mm/1000 mm) kakva se dozvoljava preporukom [3], uvjetovana je konvencionalnim postupkom kontrole ukrštenosti osi kotača pomoću viska. Naime, ovim postupkom je teško postići veću točnost, jer se pri tome ne primjenjuju mjerila s noniusom, a samo mjerjenje se obavlja pod neponovljivim uvjetima u jami ispod stroja.

U radu se preporučuje drugačiji, teorijski zasnovani postupak, znatno točnije i jednostavnije kontrole izravnanja kuta ukrštenosti osi kotača. Kontrola podešenosti kuta ukrštenosti  $\lambda$  po ovoj metodi obavlja se mjerjenjem položaja lista na kotaču uz njegovo okretanje naprijed — natrag, [8].

Mjerjenje se obavlja dubinomjerom ili pomicnim mjerilom. Višegodišnja iskustva stručnjaka Tvornice strojeva »BRATSTVO« iz Zagreba pokazala su da se ovim postupkom postiže odstupanje kuta ukrštenosti i desetak puta manja od onih koja se ostvaruju uz pomoć viska. Ovo upućuje na pretpostavku da se s preporučenom metodom i dodatna naprezanja  $\beta_{LP}$ ,  $\sigma_A$  uslijed ukrštenosti osi kotača smanjuju približno desetak puta u odnosu na konvencionalni postupak s viskom.

Zbog raznih ekscesa tijekom rada stroja, te zbog njegova lošeg održavanja, može doći do pogoršanja ukrštenosti osi, tako da kut  $\lambda$  i višestruko prelazi preporučene vrijednosti. To izaziva znatno povećanje ekstremnih naprezanja, ili i druge negativne popratne pojave. Da bi se ovakav poremećaj pravovremeno uočio i otklonio, treba tijekom eksploracije pilanske tračne pile bar jednom godišnje provjeriti kut ukrštenosti osi kotača prema preporučenom postupku.

Provjeravanje treba obavljati i nakon remonta stroja, ili kad se uoči češća pojave pukotina zamora u pazuzu zuba, ili ako dolazi do sistematskog usukavanja lista, tzv. osmice.

Preporučeni postupak kontrole izravnanja kotača zahtjeva vrijeme od desetak minuta.

## 6. ZAKLJUČAK

Provedena teorijska analiza pokazala je da dodatna naprezanja uslijed ukrštenosti osi kotača mogu uvećati ekstremna naprezanja u pazuzu zubi lista pile. Ovaj teoretski zaključak trebalo bi eksperimentalno potvrditi.

Radi pravovremenog otkrivanja i uklanjanja dodatnih naprezanja, te drugih negativnih popratnih pojava uslijed ukrštenosti osi kotača, preporuča se, tijekom eksploracije pilanskih tračnih pila, povremena kontrola kuta ukrštenosti  $\lambda$ . U ovu svrhu preporuča se i opisani postupak kontrole, koji je provjeren u praksi.

## LITERATURA

- [1] Schmalz, E.: Die amerikanischen Methoden zur Behandlung der Bandsägeblätter und ihre elastizitätstheoretische Begründung. Zeitschrift der Vereins Deutscher Ingenieure 71, Nr. 47, 1927.
- [2] Lombardi, J.: La scie à ruban. Un problème cinématique et statique. Schweiz. Bauzeitung 72 (25) 359—363 (1954).
- [3] Iliniskij, S. A., Rudnik, M. S.: Priemka derevoobrabativajuščih stankov, Moskva, 1969.
- [4] Pahlitzsch, G., Puttkammer, K.: Die Beanspruchungen von Bandsägeblättern. Holz als Roh — und Werkstoff 30 (1972), 165—174.
- [5] Thunell, B.: The Stresses in a Band Saw Blade. Helsinki, 1972.
- [6] Feoktisov, A. E.: Lentočno piljenje stanki Moskva, 1976.
- [7] Fonkin, V. F.: Lesno piljenje Stanki i linii. Moskva, 1980.
- [8] Štambuk, M.: Ukrštenost osi kotača tračnih pila. Drvna industrija 35 (1984) 7—8, 147—158.
- [9] Štambuk, M.: Kinematika lateralnog kretanja lista tračne pile. Drvna industrija 37 (1986) 5—6, 113—121.

Recenzent: prof. dr S. Sever